

## СРЕДЫ ДЛЯ ОПТИЧЕСКОЙ ПАМЯТИ

УДК 535.21.077

К. К. ШВАРЦ

(Riga)

### ПРОЦЕССЫ РЕВЕРСИВНОЙ ОПТИЧЕСКОЙ ЗАПИСИ В ХАЛЬКОГЕНИДНЫХ ПОЛУПРОВОДНИКОВЫХ ПЛЕНКАХ

**Введение.** Поиск оптических регистрирующих материалов для записи информации в реальном масштабе времени начался в 60-е годы (после создания первых оптических лазеров) и активно проводится до настоящего времени (см. [1—45]). Однако эти разработки не выходили за рамки лабораторного поиска. Только появление компакт-дисков в лазерных проигрывателях и дисков памяти для прямой разовой записи и многократного считывания (так называемые ROM-диски (read only memory)) изменило ситуацию и превратило оптические системы памяти в конкурентно-способные с существующими магнитными носителями информации. Начиная с 1983 г. в научной периодике и патентной литературе регулярно появляется информация о реверсивных оптических дисках памяти (см. [1]).

Среди различных оптических носителей информации особый интерес представляет способ оптической записи на бесфононных линиях, который позволяет обойти ограничения дифракционной разрешающей способности регистрирующей среды и на двумерном носителе достичь плотности записи  $10^{11}$  бит/ $\text{см}^2$  [21, 22]. Однако запись на бесфононных линиях возможна только при температурах жидкого гелия, что ограничивает ее широкое распространение. Совершенно новые перспективы открывают только что начатые работы по молекулярным носителям информации [24]. Однако этот способ требует разработки принципиально новых систем ввода и вывода информации.

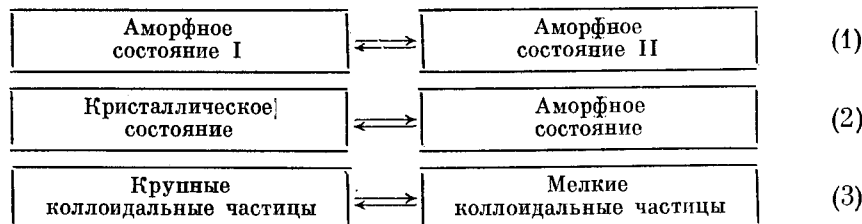
Интенсивно разрабатываются также запоминающие устройства, в которых для записи и считывания используют сфокусированный до диаметра 50 нм электронный пучок. Плотность записи информации в таких системах на несколько порядков выше, чем в оптических дисках памяти, а скорость ввода информации достигает 100 Мбит/с [4, 23].

Для прямой оптической записи в настоящее время в основном используют оптически индуцированные изменения показателей поглощения  $\chi$  и преломления  $n$ . Светочувствительные материалы разделяются на амплитудные ( $\Delta\chi \gg \Delta n$ ) и фазовые ( $\Delta n \gg \Delta\chi$ ) [1]. На практике в оптических дисках памяти применяют амплитудно-фазовую запись. При этом для дискретной записи используют разницу пропускания (или отражения) освещенных и неосвещенных участков среды. Параметры регистрирующей среды должны соответствовать ряду требований: 1) быть стабильными при многократном считывании, в том числе после  $10^6$  циклов оптического стирания; 2) обеспечивать длительное, порядка 10 лет и больше, хранение; 3) иметь уровень отношения сигнал/шум 50—60 дБ. Такой высокий уровень отношения сигнала/шум оптической системы памяти в целом достигается после усиления первичного сигнала считывания, который по изменению коэффициента отражения составляет всего 20—30 % [1, 29].

В настоящем обзоре в основном рассмотрены работы по реверсивным фотоиндуцированным процессам в халькогенидных полупроводниках, выполненные за последние 1–2 года. При этом основное внимание уделяется следующим вопросам: 1) механизм записи; 2) особенности процессов в различных средах; 3) энергия записи (светочувствительности); 4) требования к полупроводниковым лазерам для оптической записи.

**Механизм реверсивной оптической записи.** Несмотря на многочисленной среде термостимулированный фазовый переход. При этом существенное значение имеет неравновесное распределение фононов, на что впервые указано в [2]. В работе [44] рассмотрен общий механизм фотоиндуцированных процессов с учетом перераспределения химических связей и изменением ближнего и среднего атомных порядков аморфного состояния. В [45] экспериментально по изучению тонкой структуры рентгеновских спектров (EXAFS) показано, что реверсивные фотоиндуцированные процессы в аморфном  $\text{As}_2\text{S}_3$ , связанны с изменением среднего атомного порядка.

Для реверсивной фототермической записи в настоящее время применяют следующие реакции:



Для управления процессом оптической записи или стирания используют различную длительность светового импульса. Короткий световой импульс (быстрое нагревание и охлаждение) стимулирует переход из кристаллического в аморфное состояние (или переход крупных коллоидальных частиц в мелкие), а более длительный импульс — процесс кристаллизации (или коагуляцию мелких частиц).

В аморфных системах  $\text{As}_x\text{S}_{4-x}$  и  $\text{As}_x\text{Se}_{4-x}$  происходит реакция (1) [15–20, 44]. При этом эффективность фотоиндуцированной реакции зависит от состава. Например, в  $\text{As}_x\text{Se}_{4-x}$  максимальные фотоиндуцированные изменения физических свойств имеют место при  $x=0,6$ , и фотоиндуцированные изменения связаны с образованием межслойных связей [15].

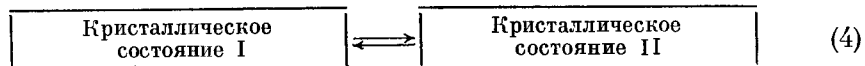
В  $\text{Sb}_x\text{S}_{1-x}$  и  $\text{Sb}_x\text{Se}_{1-x}$  фотоиндуцированные изменения относятся к реакции (2). Для фотоиндуцированного фазового перехода существует пороговая интенсивность  $I_{\text{пор}}$ , ниже которой реакции не происходит. Пороговая интенсивность отличается для прямой (например, аморфизация) и обратной (кристаллизация) реакции (см. [1]) и существенно зависит от состава  $x$ . Например, в системе  $\text{Sb}_{0,65}\text{—Se}_{0,35}$  пороговая интенсивность аморфизации  $I_{\text{пор}}^{\text{ам}} \approx 4 \cdot 10^6 \text{ Вт/см}^2$ , а порог для реакции кристаллизации равен  $I_{\text{пор}}^{\text{кр}} \approx 3 \cdot 10^3 \text{ Вт/см}^2$  (см. также [15]). Фотоиндуцированные фазовые переходы в халькогенидах сопровождаются изменением широкого спектра физических свойств [1, 6, 15, 18].

В работе [16] использовалась зависимость эффективности оптической записи в системах  $\text{As}_x\text{S}_{1-x}$  и  $\text{As}_x\text{Se}_{1-x}$  от временной формы лазерного импульса при непрерывном воздействииnano- и пикосекундными импульсами. Было показано, что наибольшая эффективность реакции имеет

место при импульсном возбуждении в наносекундной области. При переходе от непрерывного возбуждения к наносекундным импульсам эффективность реакции возрастает на 3-4 порядка, что объясняется более высокой эффективностью фототермических реакций по сравнению с реакциями фотопереноса при слабых интенсивностях света (см. [1, гл. 4]). Дальнейшее сокращение длительности импульса до нескольких десятков пикосекунд (при соответствующем увеличении интенсивности) приводит к спаду эффективности фотоиндуцированных процессов на 2-3 порядка, что связано с оптически нелинейными процессами и с электрон-фононным взаимодействием в твердом теле. Такие процессы в настоящее время мало изучены (см. [16]).

Проводимые в [16] исследования подтвердили также предположение о том, что фототермическая запись является оптимальной при длительности лазерных импульсов, сравнимых с временем термической реакции ( $\tau_{терм} \approx (10 - 100)$  нс, см. [1]). Для оптического стирания обычно требуется более длительный лазерный импульс с меньшей интенсивностью и экспозицией, сравнимой или большей, чем при записи, т. е.  $(I\Delta t)_{зап} \leq \leq (I\Delta t)_{стир}$ . Это объясняется более инерционными реакциями кристаллизации аморфного состояния, что ограничивает скорость оптического стирания.

Для оптической записи, кроме реакций (1)–(3), используются также реверсивные реакции между различными кристаллическими состояниями:



Реакция (4) наблюдалась в металлических пленках Cu—Al—Ni (основной компонент — медь; содержание алюминия 3—20 вес. %, содержание никеля 4 вес. %) [34]. В качестве оптимального состава предлагается сплав меди с 14 вес. % Al и 4 вес. % Ni. Фазовые переходы наблюдаются при  $T_1 = 1020$  К и в интервале  $\Delta T = 670$ —970 К. При охлаждении (закалке) от  $T_1$  до комнатной окраска пленки красноватая, а при прогревании в интервале  $\Delta T$  (670—970 К) пленка приобретает золотистую окраску. При этом разность коэффициентов отражения  $R$  в интервале длин волн  $\lambda \geq 800$  нм составляет около 20 % (относительное изменение  $\Delta R/R$  равно 33 %). Оптические свойства состава Cu—Al—Ni подобраны с учетом спектральной области излучения полупроводниковых лазеров. Однако в [34] не приводятся параметры оптической записи. Отрицательным свойством состава Cu—Al—Ni являются высокие температуры структурных фазовых переходов. В последнее время реакции (4) наблюдались также в системах Sb—In, Sb—Se—In и других [46].

**Особенности процессов оптической записи в различных халькогенидах.** В работах [35—37] исследовалась реакция типа (3) в системе  $\text{TeO}_2$ —Ме, где в качестве примесей Ме использовались теллур и сплавы теллура (GeSn, TeGe и др.). Согласно [35] система  $\text{TeO}_2$ —Ме позволяет осуществлять до  $10^6$  циклов оптической записи — стирания. В [36] наблюдались медленные вызванные светом реакции коагуляции (мелкие частицы  $\rightleftharpoons$  крупные частицы), связанные с процессами кристаллизации в коагулятах. Время релаксации этих темновых реакций (после воздействия микросекундного лазерного импульса) достигает секунды, что существенно ограничивает практическое применение данных материалов. В системе  $\text{TeO}_2$ —Ме (без защитного покрытия) наблюдалось сильное фотоиндуцированное изменение химического состава пленки, связанное с процессом окисления и диффузии продуктов в пределах толщины пленки приблизительно до 100 нм [37]. Отмечалось, что на глубине 30 нм образуется слой, наименее обогащенный кислородом. Для устранения химических реакций в реверсивных оптических регистрирующих средах необходимо применить защитные покрытия. Реакция (3) имеет место также в системе  $\text{SbO}_2$  (см. [1]).

Реакция (2) осуществляется в материалах типа  $Sb_2Se$ ,  $Se_{20}In_{35}Sb_{45}$  и многих других. Характер фотопревращений (аморфизацию, кристаллизацию) определяется длительностью лазерного импульса (короткий — аморфизация, более длинный — кристаллизация) [38—42]. Для реакции (2) при фотокристаллизации наблюдается превращение аморфной гомогенной фазы, например  $Sb_xSe_{1-x}$ , в двух или более сложную смесь кристаллических фаз, например,  $Sb_2Se_3$  и  $Sb$  (см. также [39] для  $Sb-Se$  и [41, 42] для  $Ga-Se-Te$ ).

В работе [40] рассмотрены фотоиндуцированные реакции в халькогенидных пленках германия  $Ge_{25}S_{75}$ ,  $Ge_{25}Se_{75}$  и  $Ge_{25}Te_{75}$  (толщина  $h = 1 \text{ мкм}$ ). Наблюдалась сильная зависимость светочувствительности от угла напыления пленки  $\Theta$  (угол между нормалью и направлением напыления). Светочувствительность пленок  $Ge_{25}S_{75}$ , напыленных при  $\Theta = 80^\circ$ , приблизительно на порядок выше, чем при угле напыления  $\Theta = 0^\circ$ . Наиболее существенно в  $Ge_{25}S_{75}$  и  $Ge_{25}Se_{75}$  отличались необратимые фотоиндуцированные изменения (потери) массы  $\Delta m/m$ . Так, после воздействия света на пленки  $Ge_{25}S_{75}$  и  $Ge_{25}Se_{75}$ , напыленные при  $\Theta = 80^\circ$ ,  $\Delta m/m$  составили 18 и 10,5 % соответственно, а напыленные при  $\Theta = 0^\circ$  —  $\Delta m/m = 0$ . Потери массы связываются с химическими реакциями и испарением серы и селена. В указанных пленках наблюдается также фотоиндуцированный сдвиг края фундаментального поглощения ( $\Delta E_g/E_g$ ), который для  $Ge_{25}Se_{75}$  составляет 27 % при  $\Theta = 80^\circ$  и 1,5 % при  $\Theta = 0^\circ$ , а для  $Ge_{25}S_{75}$  — 16 и 2 % соответственно. В пленках  $Ge_{25}Te_{75}$  при фотовозбуждении потери массы отсутствовали ( $\Delta m/m = 0$  при углах  $\Theta = 80^\circ$  и  $\Theta = 10^\circ$ ), а обратимые фотоиндуцированные эффекты (сдвиг  $\Delta E_g/E_g$ , изменение толщины  $\Delta h/h$ ) были на порядок меньше, чем в пленках  $Ge_{25}S_{75}$  и  $Ge_{25}Se_{75}$ . Системы типа  $Ge-S$  и  $Ge-Se$  ввиду потери массы для реверсивной записи не применимы. Однако зависимость фотофизических свойств халькогенидов от угла напыления может влиять на другие системы.

В работе [38] показано влияние примесей переходных элементов (Ni, Pd, Pt в количестве нескольких мол, %) на реверсивную реакцию типа (2) в системе  $Te_{89}Ge_2Sn_9$ , выражающееся в снижении температуры кристаллизации, увеличении скорости реакции и стабильности системы при реверсивных фотоиндуцированных фазовых переходах.

**Энергия записи.** Светочувствительность различных оптических регистрирующих материалов обычно оценивается по экспозиции  $H = It$  (где  $I$  — интенсивность света;  $t$  — время экспозиции) без учета доли поглощенной энергии. Это объясняется трудностями изучения поведения материала при дискретной записи полупроводниковым лазером на площади около  $1 \text{ мкм}^2$ . Если использовать другие более мощные импульсные лазеры, чтобы увеличить площадь записи, возникнут проблемы несоответствия спектральных и временных характеристик излучения. Поэтому литературные данные по светочувствительности (экспозиция на один бит, см. [1, 35—42]) являются приближенными и характеризуют энергию записи с точностью 30—50 %. С учетом неполного поглощения возбуждающего лазерного излучения истинная энергия записи должна быть несколько меньше приведенных значений.

Для оценки предельной мощности полупроводниковых лазеров рассмотрим общие требования к оптической записи в реальном масштабе времени.

1. Линейная область записи связана с разрешающей способностью оптических систем, что ограничивает диаметр пучка условием  $2r \geq \lambda$  ( $\lambda$  — длина волны света). Толщина слоя  $h$  подбирается согласно условиям интерференционной компенсации отражения  $h = \lambda/(4n)$  ( $n$  — показатель преломления) и оптимальным условиям поглощения. Практически геометрия записи сводится к размерам  $2r = 1 \text{ мкм}$  и  $h = 100 \text{ нм}$  (см. таблицу).

2. Интенсивность света при записи должна быть выше пороговой  $I_{\text{пор}}^3$  и обеспечивать максимальную эффективность фототермической

Энергия точечной записи в различных оптических регистрирующих материалах		Геометрия записи:		
N п/п	Способ	Среда	Энергия записи 1 бита	
			Расчет, Дж	Эксперимент, Дж
1	Испарение вещества для разовой записи (нагревание до $T_{исп}$ ) в пленках	Te	$6 \cdot 10^{-10}$	$13 \cdot 10^{-10}$
2	Лабиационная запись (нагревание до $T_{пл}$ ) в пленках	Te	$1 \cdot 10^{-10}$	
3	Реверсивные фотосиндицированные переходы в пленках	Te Sb Se $Se_{20} In_{35} Sb_{45}$ $Sb_2 Se$ $Te O_2 - Me$	— — — —	$4 \cdot 10^{-10}$ $(2-200) 10^{-10}$ $10 \cdot 10^{-10}$ $16 \cdot 10^{-10}$

записи. Для халькогенидных пленок, представляющих интерес для реверсивной записи,  $I_{пор}^3$  обычно составляет величину порядка  $10^6$  Вт/см<sup>2</sup>. При этом интенсивность записи должна быть меньше порога испарения пленки  $I_{пор}^u$ , т. е.  $I_{пор}^3 \leq I \leq I_{пор}^u$ . Учет указанных соображений, а также процессов фототермической релаксации в регистрирующей среде ( $\tau_{рел} \approx 10 - 100$  нс) требует для практических целей интенсивности света  $I \approx 10^6$  Вт/см<sup>2</sup> и длительности импульса  $\Delta t$  50—100 нс.

3. В реверсивных оптических регистрирующих материалах для записи одного бита применяют экспозиции  $H$  в пределах  $(0,2 - 2,0) \cdot 10^{-9}$  Дж. Следовательно, энергия записи  $\varepsilon_{зап}$  с учетом условий неполного поглощения записывающего света меньше  $H$ , т. е.  $\varepsilon_{зап} \leq H$ .

**Требования к параметрам полупроводниковых лазеров.** Исходя из вышеизложенных требований, можно оценить максимальную мощность полупроводникового лазера. Предположим, что коэффициент эффективности фокусировки ( $\alpha = P_{фок}/P_0$ , где  $P_{фок}$  — фокусированная в области записи мощность;  $P_0$  — полная мощность лазера) составляет 30 % ( $\alpha = 0,3$ ). Тогда минимальная мощность  $P_{min}$  лазера для записи равна

$$P_{min} = \varepsilon_{зап} / \alpha \Delta t, \quad (5)$$

что при  $\varepsilon_{зап} = 1 \cdot 10^{-9}$  Дж/бит,  $\alpha = 0,3$  и  $\Delta t = 100$  нс дает  $P_{min} \approx 33$  мВт. Если энергия записи  $\varepsilon_{зап} = 0,1 \cdot 10^{-9}$  Дж/бит, то минимальная мощность составляет всего 3 мВт. Однако последнее значение на практике не оправдалось.

Высокая интенсивность в области фокусировки ( $I = 10^6$  Вт/см<sup>2</sup>) необходима для осуществления эффективной оптической записи (см. [1, гл. 4]). Это выдвигает дополнительные требования к мощности лазера  $P$ :

$$I = \alpha P / \Delta s, \quad (6)$$

где  $\alpha$  — коэффициент эффективности фокусировки;  $\Delta s$  — область записи. При  $P = 30$  мВт,  $\alpha = 0,3$  и  $\Delta s = 1$  мкм<sup>2</sup> это дает  $I \approx 9 \cdot 10^5$  Вт/см<sup>2</sup>.

Для обеспечения высоких интенсивностей света при записи требу-

ется разработка специальных полупроводниковых лазеров с малой излучающей площадью ( $\Delta s_{изл} \approx 1 \text{ мкм}^2$ ). При этом возникают также проблемы по лучевой прочности выходного окна [30, 32].

В настоящее время экспертные оценки по разработкам полупроводниковых лазеров для оптической записи сводятся к следующим требованиям [30, 32]: 1) средняя мощность 50 мВт; 2) длительность импульса при записи (10–100) нс; 3) длительность импульса при стирании (1–10) мкс; 4) излучающая поверхность 1 мкм<sup>2</sup>.

За рубежом в научных центрах фирм такие лазеры разработаны и начинают появляться в продаже [32]. Одновременно проводятся также работы по созданию полупроводниковых лазеров с длиной волны излучения в видимой области спектра. Это позволит увеличить емкость информации на единицу излучающей поверхности в материалах, обратно пропорциональных теплопроводности, и уменьшить затраты на испарение (без учета теплоотвода с подложки) приблизительно в 6 раз выше, чем энергия расплавления такого же объема (см. таблицу, п. 1 и 2). При этом сам процесс испарения составляет 70 % от общих затрат (нагревание до точки плавления и испарения). Экспериментальное значение энергии записи при испарении близко к теоретической оценке (см. таблицу).

Энергия записи при реверсивной фотоиндуцированной реакции (см. таблицу) близка к энергии испарения вещества, что свидетельствует о низкой эффективности фототермических процессов записи. Отсюда следует также, что фототермические фазовые переходы сопровождаются большими потерями при электрон-фононном взаимодействии (большие потери энергии электронного возбуждения на колебания атомов).

Более низкие энергии оптической записи наблюдаются в системах с усилением фотоиндуцированных эффектов [1], например, в электрооптических кристаллах КТа<sub>0,65</sub>Nb<sub>0,35</sub>O<sub>3</sub> при воздействии света в электрическом поле (энергия записи одного бита  $\varepsilon_{зап} \approx 10^{-12}$  Дж). Такая же энергия записи в многослойных системах памяти с усилением первичного эффекта [11].

## ВЫВОДЫ

Для реверсивной оптической записи в реальном масштабе времени в настоящее время применяются фотоиндуцированные фазовые переходы в халькогенидных пленках. Механизм оптической записи или стирания сводится к фототермическим реакциям с различной скоростью нагревания и охлаждения. Энергия оптической записи в халькогенидах составляет около 1 нДж/бит, что требует применения полупроводниковых лазеров мощностью в несколько десятков милливатт с малой (порядка 1 мкм<sup>2</sup>) площадью излучения.

## ЛИТЕРАТУРА

1. Шварц К. К. Физика оптической записи в диэлектриках и полупроводниках.— Рига: Зинатне, 1986.
2. Малиновский В. К., Нестерихин Ю. Е., Новиков В. М., Соколов А. П. Локальные фононы в средах с пространственной дисперсией // Автометрия.— 1986.— № 2.
3. Всеволодов И. И., Иваницкий М. С., Соскин М. С., Тараненко В. Б. Пленки бихром — реверсивная среда для оптической записи // Там же.
4. Рай Э. И., Савин Д. О., Спивак Г. В. Реверсивная ускоренная микрозапись на сверхоптическом уровне и воспроизведение информации с помощью растрового электронного микроскопа // Автометрия.— 1987.— № 2.

5. Мировицкий Д. И., Ростовцева Н. В., Серов О. Б. Использование многослойных структур для записи тонких фазовых голограмм // Там же.
6. Любин В. М. Фотографические процессы на основе халькогенидных стеклообразных полупроводников // Несеребряные фотографические процессы/Под ред. А. Л. Картужанского.—Л.: Химия, 1984.
7. Петров М. П., Степанов С. И., Хоменко А. В. Фоточувствительные электрооптические среды в голограмии и оптической обработке информации.—Л.: Наука, 1983.
8. Малашин И. И., Чернышев Н. А. Оптические средства хранения информации // Зарубеж. электрон. техника.—1987.—№ 1.
9. Бендинчик И. В., Введенский Б. С. Оптические дисковые носители информации // Техника кино и телевидения.—1987.—№ 1.
10. Средства регистрации информации // БИНТИ.—1986.—№ 29.
11. Басов Н. Г., Плотников А. Ф., Попов Ю. М., Селезнев В. Н. Новая оптоэлектронная реверсивная запоминающая среда (обзор) // Квантовая электрон.—1987.—Т. 14, № 3.
12. Крючин А. А., Крючина Л. И., Петров В. В. и др. Реверсивные регистрирующие среды носителей информации оптических запоминающих устройств.—Киев, 1986.—(Препринт/АН УкрССР, Ин-т проблем моделирования в энергетике; 23).
13. Фролов Г. И., Середкин В. А., Яковчук В. Ю. Термомагнитная запись на пленочных сплавах переходных и редкоземельных металлов.—Красноярск, 1986.—(Препринт/АН СССР, Сиб. отд-ние, ИФ; 368Ф).
14. Клинтер М. И. Мягкие атомные конфигурации и механизмы фотостимулированных и радиационных процессов в стеклообразных системах // Изв. АН ЛатвССР. Сер. физ. и техн. наук.—1987.—№ 4.
15. Шварц К. К., Шунин Ю. Н., Тетерис Я. А. Фотоиндуцированные изменения в аморфных халькогенидах и их моделирование // Там же.
16. Озольс А. О. Светочувствительность аморфных полупроводниковых пленок As—S и As—Se при лазерном воздействии непрерывным излучением и наносекундными или пикосекундными импульсами // Автометрия.—1987.—№ 1.
17. Шунин Ю. Н., Шварц К. К. Кластерная модель и расчет электронной структуры ковалентных твердых тел // ЖСХ.—1986.—№ 6.
18. Рейнфельде М. Я., Тетерис Я. А., Шварц К. К. Фотоиндуцированные изменения показателя преломления в аморфных пленках мышьяк — сера и мышьяк — селен // Изв. АН ЛатвССР. Сер. физ. и техн. наук.—1985.—№ 1.
19. Shvarts K. K., Teteris J. A., Manika I. I. e. a. Photoinduced changes of refractive index in amorphous arsenic and antimony chalcogenides // J. Non-Cryst. Sol.—1987.—V. 90.—P. 509.
20. Shunin Yu., Shvarts K. Calculation of the electronic structure in disordered semiconductors // Phys. Stat. Sol. (b).—1986.—V. 136.—P. 15.
21. Rebane K. K. Laser study of non-phonon lines in the inhomogeneously broadened spectra via photochemical hole burning // J. Luminiscence.—1984.—V. 31/32.—P. 744.
22. Schellenberg F. M., Lenth W., Bjorklund G. C. Technological aspects of frequency domain data storage using persistent spectral hole burning // Appl. Opt.—1986.—V. 25, N 18.—P. 3207.
23. Oko J. A., Wolfe J. C. Archival information storage by selective electron beam melting of structural targets // J. Vac. Sci. Technol.—1987.—V. B5, N 1.—P. 102.
24. Conrad M. On design principles for a molecular computer // Commun. ACM.—1985.—V. 28, N 5.—P. 464.
25. Bohm J., Kusch S. Signalaufzeichnung in magnetooptischen Schichten // J. Inform. Record. Mater.—1986.—V. 14, N 4.—P. 235.
26. Meiklejohn W. H. Magneto optics: A thermomagnetic recording technology // Proc. IEEE.—1986.—V. 74, N 11.—P. 1570.
27. Bate G. Materials challenges in metallic, reversible, optical recording media: a review // IEEE Trans. on Magnet.—1987.—V. MAG-23, N 1.—P. 156.
28. Bonnebat C. Information storage technologies — some recent trends and current prospects analysed from the media manufacturer standpoint // Ibid.—P. 9.
29. Tanaka S. Measurement of disc errors by CD recorder // J. Electron. Eng.—1987.—V. 24, N 241.—P. 36.
30. Holmes L. Advances in commercial lasers 1986-87 // Laser Focus/Electro-Optics.—1987.—V. 23, N 1.—P. 38.
31. Sanyo Semiconductor Laser Has 80 % Efficiency // JEE.—1986.—V. 23, N 240.—P. 23.
32. Akerley B. H., Hitz C. B. 1987 laser economic review and outlook // Laser Focus/Electro-Optics.—1987.—V. 23, N 1.—P. 50.
33. Miller D. A. B. Novel optical modulators and bistable devices using the self-electro-optic effect in semiconductor quantum wells // Surface Science 174.—Amsterdam: North-Holland Publishing Company, 1986.—P. 221.
34. Minemura T., Andoh H., Ikuta I. Reversible colour change in Cu—Al—Ni alloy ribbon associated with phase transformation // J. Material Sci.—1987.—V. 22.—P. 932.
35. Takenaga M., Yamada N., Nishimichi K. e. a. TeO<sub>x</sub> thin films for an optical disc memory // J. Appl. Phys.—1983.—V. 54, N 9.—P. 5376.
36. Tyan Y. S., Preuss D. R., Vazan F., Manns S. J. Recording in tellurium suboxide thin films // J. Appl. Phys.—1986.—V. 59, N 3.—P. 716.

37. Lee W. Y., Coufal H., Davis C. R. e. a. Nanosecond pulsed laser — induced segregation of Te in  $\text{TeO}_x$  films // J. Vac. Sci. Technol. A.—1986.—V. 4, N 6.—P. 2988.
38. Young R. T., Strand D., Gonzalez-Hernandes J., Ovshinsky S. R. Effects of transition-metal elements in tellurium alloys for reversible optical-data storage // J. Appl. Phys.—1986.—V. 60, N 12.—P. 4319.
39. Barton R., Davis C. R., Rubin K., Lim G. New phase change material for optical recording with short erase time // Appl. Phys. Lett.—1986.—V. 48, N 19.—P. 1255.
40. Solomon Harshavardhan K., Hegde M. S. Origin of anomalous photoinduced transformations in amorphous Ge-based chalcogenide thin films // Phys. Rev. Lett.—1987.—V. 58, N 6.—P. 567.
41. Rhee J. Ch., Okuda M., Matsushita T. Write-erase characteristics of phase change optical recording in Ga—Se—Te systems // Jap. J. Appl. Phys.—1987.—V. 26, N 1.—P. 102.
42. Matsushita T., Suzuki A., Nakan T. e. a. Effect of Ge addition on Ga—Se—Te system reversible optical recording media // Ibid.—P. 62.
43. Chervinka L. Medium-range ordering in non-crystalline solids // J. Non-Cryst. Sol.—1987.—V. 90.—P. 371.
44. Pirogov F. V., Shvarts K. K. The mechanism of high-temperature photo-structural transformation in low dimensional systems // Abstracts of the 12 International Conference on Amorphous and Liquid Semiconductors.—Prague, 1987.
45. Lowe A. J., Elliot S. R. Extended X-ray absorption fine-structural changes in amorphous arsenic chalcogenides // Philos. Mag.—1986.—V. B54, N 6.—P. 483.
46. Neues Material für löschbare optische Speicher (Aus den Philips-Forschungslaboren) // Laser und Optoelektronik.—1987.—N 3.—S. 250.

Поступила в редакцию 9 ноября 1987 г.

УДК 778.4.537.226 : 228.3 : 535.21

**К. ТАНАКА**

(Саппоро, Япония)

## ФОТОСТРУКТУРНЫЕ ПРЕВРАЩЕНИЯ В АМОРФНЫХ ХАЛЬКОГЕНИДНЫХ ПОЛУПРОВОДНИКАХ

**Введение.** В природе наблюдаются разнообразные фотоиндуцированные явления: от фотосинтеза в хлорофилле деревьев до фотографических процессов в органических и неорганических материалах. Объяснение механизмов этих явлений представляет большой научный интерес. Кроме того, в последние годы рост производства оптоэлектронной техники, например для оптической памяти, стимулировал соответствующие исследования.

В фотоиндуцированных явлениях оптически возбужденные электроны приводят к изменениям микроскопической атомной структуры. Поэтому одно из существенных условий для фотоиндуцированных явлений — наличие электронных систем, которые могут быть возбуждены фотонами с энергией  $\hbar\omega$  в видимой области спектра. Поскольку ширина  $E_g$  запрещенной зоны полупроводников удовлетворяет условию  $E_g < \hbar\omega$ , фотоструктурные превращения в какой-то степени возможны во всех полупроводниковых материалах. В кристаллических полупроводниках эти явления, однако, очень редки. По-видимому, структура кристаллической решетки, определяемая в основном тетраэдрическими конфигурациями, слишком жесткая для появления фотоструктурных превращений. Напротив, в аморфных полупроводниках можно наблюдать разнообразные фотоструктурные превращения, особенно в халькогенидных материалах [1].

На рис. 1 дана классификация фотоиндуцированных явлений в халькогенидных стеклах. В тепловом процессе (a) нерадиационная рекомбинация возбужденных носителей индуцирует быстрые температурные изменения, которые приводят к кристаллизации или стеклованию осажденных пленок [2]. Явление осцилляции пропускания, открытое в [3], также может возникать термически. Соответственно явления, в которых рост температуры не существует, назовем фотонными. Имеются переходные